

## Katalog

## Zawory elektromagnetyczne ze stali nierdzewnej typu EVRS 3 → 20 i EVRST 10 → 20

### Wprowadzenie



EVRS i EVRST są zaworami ze wspomaganyim otwarciem, wykonanymi ze stali nierdzewnej. EVRS 3 jest bezpośredniego działania. EVRS 10, 15 i 20 działa z serwosterowaniem. EVRST 10, 15 i 20 są zaworami działającymi z wymuszonym serwosterowaniem stosowanym w rurociągach cieczowych, ssawnych, gorącego gazu i w rurociągach powrotnych oleju w instalacjach z amoniakiem albo fluorowcopochodnymi

czynnikami chłodniczymi. EVRS 3 i EVRST są skonstruowane tak, aby pozostawały otwarte przy spadku ciśnienia 0 bar. EVRS i EVRST są dostarczane jako elementy tj. korpus zaworu i cewka muszą być zamawiane oddzielnie. EVRS/EVRST 10, 15 i 20 są wyposażone w trzpień do ręcznego otwierania.

### Charakterystyka

- Korpus i przyłącza ze stali nierdzewnej*
- Odpowiednie do zastosowania tam, gdzie wymagana jest wysoka higiena*
- Stosowane do amoniaku i fluorowcopochodnych czynników chłodniczych*
- Zaprojektowane dla temperatur medium do 105°C*
- Szeroki wybór cewek na prąd przemienny i stały*

### Dane techniczne

Czynniki chłodnicze  
R 717 (NH<sub>3</sub>), R 22, R 134a, R 404A itd.

Temperatura medium  
–40 → +105°C. Maks. 130°C przy odtajaniu.

Temperatura otoczenia i obudowa cewki: Patrz „Cewki do zaworów elektromagnetycznych”.

Typ	Różnica ciśnień powodująca otwieranie Δp bar				Temperatura medium °C	Maks. ciśnienie robocze PB bar	Wartość k <sub>v</sub> <sup>2</sup> ) m <sup>3</sup> /h			
	Min.	Maks. (MOPD) ciecz <sup>1)</sup>								
		10 W pr. przem.	12 W pr. przem.	20 W pr. stały						
EVRS 3	0.0	21	25	14	–40 → 105	28	0.23			
EVRS 10	0.05	21	25	18	–40 → 105	28	1.5			
EVRST 10	0.0	14	21	16	–40 → 105	28	1.5			
EVRS 15	0.05	21	25	18	–40 → 105	28	2.7			
EVRST 15	0.0	14	21	18	–40 → 105	28	2.7			
EVRST 20	0.05	21	25	18	–40 → 105	28	4.5			
EVRST 20	0.0	14	21	18	–40 → 105	28	4.5			

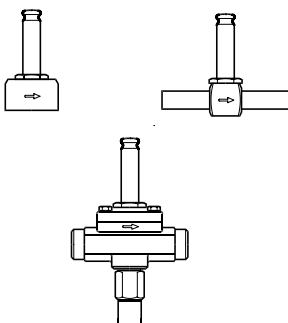
<sup>1)</sup> MOPD jest dla mediów gazowych około 1 bar większe.

<sup>2)</sup> Wartość k<sub>v</sub> jest przepływem wody w m<sup>3</sup>/h przy spadku ciśnienia 1 bar, p=1000 kg/m<sup>3</sup>.

**Dane techniczne  
(ciąg dalszy)**

Typ	Wydajność znamionowa <sup>1)</sup> kW											
	Ciecz				Para zasysana				Gorący gaz			
	R 717	R 22	R 134a	R 404A	R 717	R 22	R 134a	R 404A	R 717	R 22	R 134a	R 404A
EVRS 3	21.8	4.6	4.3	3.2					6.5	2.1	1.7	1.7
EVRS/EVRST 10	142.0	30.2	27.8	21.1	9.0	3.4	2.5	3.1	42.6	13.9	11.0	11.3
EVRS/EVRST 15	256.0	54.4	50.1	38.0	16.1	6.2	4.4	5.5	76.7	24.9	19.8	20.3
EVRS/EVRST 20	426.0	90.6	83.56	3.3	26.9	10.3	7.3	9.2	128.0	41.5	32.9	33.9

<sup>1)</sup> Znamionowa wydajność cieczy i pary zasysanej jest określona dla temperatury parowania  $t_e = -10^\circ\text{C}$ , temperatury cieczy przed zaworem  $t_l = +25^\circ\text{C}$  i spadku ciśnienia na zaworze  $\Delta p = 0.15 \text{ bar}$ . Znamionowa wydajność gorącego gazu jest określona dla temperatury skraplania  $t_c = +40^\circ\text{C}$ , spadku ciśnienia na zaworze  $\Delta p = 0.8 \text{ bar}$ , temperaturze gorącego gazu  $t_h = +40^\circ\text{C}$  i ochłodzenia czynnika  $\Delta t_{\text{sub}} = 4 \text{ K}$ .

**Zamawianie****Osobne korpusy zaworów**

Typ	Przyłącze		Nr kodowy	
	Do spawania cale	Gwint rurowy ISO 228/1	Z ręcznym otwieraniem	Bez ręcznego otwierania
EVRS 3	3/8			032F3080
EVRS 3		G 1/4		032F3081
EVRS 10	1/2		032F3082	
EVRST 10	1/2		032F3083	
EVRS 15	3/4		032F3084	
EVRST 15	3/4		032F3085	
EVRS 20	1		032F3086	
EVRST 20	1		032F2237	

Cewki Patrz „Cewki dla zaworów elektromagnetycznych”.

**Wydajność****Wydajność cieczy  $Q_e \text{ kW}$** 

Typ	Wydajność cieczy $Q_e \text{ kW}$ przy spadku ciśnienia na zaworze $\Delta p \text{ bar}$				
	0.1	0.2	0.3	0.4	0.5
EVRS 3	17.8	25.1	30.8	35.6	39.8
EVRS/EVRST 10	116.0	164.0	201.0	232.0	259.0
EVRS/EVRST 15	209.0	295.0	362.0	418.0	467.0
EVRS/EVRST 20	348.0	492.0	603.0	696.0	778.0

**R 717 ( $\text{NH}_3$ )**

EVRS 3	17.8	25.1	30.8	35.6	39.8
EVRS/EVRST 10	116.0	164.0	201.0	232.0	259.0
EVRS/EVRST 15	209.0	295.0	362.0	418.0	467.0
EVRS/EVRST 20	348.0	492.0	603.0	696.0	778.0

**R 22**

EVRS 3	3.8	5.3	6.6	7.6	8.5
EVRS/EVRST 10	24.7	34.9	42.7	49.3	55.1
EVRS/EVRST 15	44.4	62.8	76.9	88.8	99.2
EVRS/EVRST 20	73.9	105.0	128.0	148.0	165.0

**R 134a**

EVRS 3	3.5	4.9	6.0	7.0	7.8
EVRS/EVRST 10	22.7	32.2	39.4	45.5	50.8
EVRS/EVRST 15	40.9	57.9	70.9	81.8	91.5
EVRS/EVRST 20	68.2	96.5	118.0	136.0	153.0

**R 404A**

EVRS 3	2.6	3.7	4.6	5.3	5.9
EVRS/EVRST 10	17.2	24.3	29.8	34.4	38.5
EVRS/EVRST 15	31.0	43.8	53.7	62.0	69.3
EVRS/EVRST 20	51.7	73.0	89.5	103.0	116.0

Wydajności są określone dla temperatury cieczy przed zaworem  $t_l = +25^\circ\text{C}$ , temperatury parowania  $t_e = -10^\circ\text{C}$  i przegrzania 0 K.

**Współczynniki korekcyjne**

Przy dobieraniu wielkości zaworów wydajność instalacji musi być pomnożona przez współczynnik korekcyjny zależny od temperatury cieczy  $t_l$  przed zaworem/parownikiem. Kiedy znana jest skorygowana wydajność, można dokonać doboru z tablicy.

$t_l \text{ } ^\circ\text{C}$	-10	0	+10	+20	+25	+30	+40	+50
R 717 ( $\text{NH}_3$ )	0.84	0.88	0.92	0.97	1.0	1.03	1.09	1.16
R 22, R 134a	0.76	0.81	0.88	0.96	1.0	1.05	1.16	1.31
R 404A	0.70	0.76	0.84	0.94	1.0	1.07	1.24	1.47

**Wydajność**  
 (ciąg dalszy)
*Wydajność zasysanej pary Q<sub>e</sub> kW*

Typ	Spadek ciśnienia na zaworze Δp bar	Wydajność pary zasysanej Q <sub>e</sub> kW przy temperaturze parowania t <sub>e</sub> °C					
		-40	-30	-20	-10	0	+10

**R 717 (NH<sub>3</sub>)**

EVRS/EVRST 10	0.1 0.15 0.2	3.4 4.0 4.5	4.5 5.4 6.1	5.9 7.0 7.9	7.3 9.0 10.0	8.9 10.9 12.6	10.6 13.0 15.0
EVRS/EVRST 15	0.1 0.15 0.2	6.1 7.2 8.0	8.1 9.7 11.0	10.7 12.5 14.2	13.2 16.1 18.0	16.0 19.6 22.6	19.1 23.4 27.0
EVRS/EVRST 20	0.1 0.15 0.2	10.2 12.1 13.4	13.5 16.1 18.3	17.8 20.9 23.7	21.9 26.9 29.9	26.6 32.6 37.7	31.9 39.0 45.1

**R 22**

EVRS/EVRST 10	0.1 0.15 0.2	1.4 1.6 1.8	1.8 2.1 2.4	2.3 2.7 3.1	2.8 3.4 3.8	3.4 4.1 4.8	4.0 4.9 5.6
EVRS/EVRST 15	0.1 0.15 0.2	2.5 2.9 3.3	3.2 3.8 4.3	4.1 4.8 5.5	5.0 6.2 6.8	6.1 7.4 8.6	7.2 8.8 10.2
EVRS/EVRST 20	0.1 0.15 0.2	4.1 4.9 5.5	5.3 6.4 7.2	6.8 8.1 9.2	8.4 10.3 11.4	10.1 12.3 14.3	12.0 14.7 16.9

**R 134a**

EVRS/EVRST 10	0.1 0.15 0.2	0.87 0.99 1.1	1.2 1.4 1.6	1.6 1.9 2.1	2.1 2.4 2.8	2.6 3.2 3.5	3.2 3.9 4.5
EVRS/EVRST 15	0.1 0.15 0.2	1.6 1.8 2.0	2.1 2.5 2.8	2.8 3.4 3.8	3.8 4.4 5.0	4.7 5.7 6.3	5.7 7.0 8.1
EVRS/EVRST 20	0.1 0.15 0.2	2.6 3.0 3.3	3.6 4.2 4.7	4.7 5.6 6.4	6.3 7.3 8.3	7.8 9.5 10.5	9.6 11.7 13.5

**R 404A**

EVRS/EVRST 10	0.1 0.15 0.2	1.2 1.4 1.6	1.5 1.8 2.1	2.0 2.4 2.7	2.5 3.1 3.4	3.1 3.8 4.3	3.7 4.6 5.3
EVRS/EVRST 15	0.1 0.15 0.2	2.1 2.5 2.8	2.7 3.3 3.7	3.6 4.3 4.9	4.5 5.5 6.1	5.5 6.8 7.8	6.6 8.2 9.5
EVRS/EVRST 20	0.1 0.15 0.2	3.5 4.1 4.6	4.6 5.5 6.2	6.0 7.1 8.1	7.5 9.2 10.2	9.2 11.3 13.0	11.1 13.6 15.8

*Współczynniki korekcyjne*

Przy doborze wielkości zaworów, wydajność parownika musi być pomnożona przez współczynnik korekcyjny zależny od temperatury cieczy t<sub>i</sub> przed zaworem rozprężnym. Kiedy znamy skorygowaną wydajność można dokonać doboru z tablicy.

t <sub>i</sub> °C	-10	0	+10	+20	+25	+30	+40	+50
R 717 (NH <sub>3</sub> )	0.84	0.88	0.92	0.97	1.0	1.03	1.09	1.16
R 22, R 134a	0.76	0.81	0.88	0.96	1.0	1.05	1.16	1.31
R 404A	0.70	0.76	0.84	0.94	1.0	1.07	1.24	1.47

Wydajności są określone dla temperatury cieczy przed parownikiem t<sub>i</sub> = +25°C.

Wartości w tablicy odnoszą się do wydajności parownika i są podane jako funkcja temperatury parowania t<sub>e</sub> i spadku ciśnienia na zaworze Δp.

Wydajności są określone dla suchej pary nasyconej przed zaworem.

W czasie pracy z parą przegrzaną przed zaworem wydajności muszą być zmniejszone o 4% na każde 10 K przegrzania.

**Wydajność**  
 (ciąg dalszy)
**Wydajność gazu gorącego  $Q_h$  kW**

Typ	Spadek ciśnienia na zaworze $\Delta p$ bar	Wydajność gorącego gazu $Q_h$ kW				
		Temp. parowania $t_e = -10^\circ\text{C}$ . Temp. gorącego gazu $t_h = t_c + 25^\circ\text{C}$ . Dochłodzenie $\Delta t_{\text{sub}} = 4\text{ K}$				
		Temperatura skraplania $t_c$ $^\circ\text{C}$				
		+20	+30	+40	+50	+60

**R 717 ( $\text{NH}_3$ )**

EVRS 3	0.1	1.8	2.1	2.3	2.5	2.6
	0.2	2.6	2.9	3.2	3.5	3.7
	0.4	3.8	4.2	4.6	4.9	5.3
	0.8	5.1	6.0	6.5	7.1	7.6
	1.6	7.4	8.3	9.1	9.9	10.9
EVRS/EVRST 10	0.1	12.0	3.4	14.7	16.0	17.2
	0.2	17.1	19.0	20.9	22.7	24.4
	0.4	24.5	27.1	29.7	32.2	34.7
	0.8	34.0	39.0	42.6	46.1	49.5
	1.6	48.5	53.8	59.1	64.3	1.3
EVRS/EVRST 15	0.1	21.7	24.1	26.4	28.8	31.0
	0.2	30.8	34.2	37.5	40.8	44.0
	0.4	44.1	48.8	53.5	58.0	62.4
	0.8	61.2	70.3	76.7	83.0	89.1
	1.6	87.4	96.9	106.0	116.0	128.0
EVRS/EVRST 20	0.1	36.1	40.1	44.0	48.0	51.7
	0.2	51.4	57.0	62.6	68.0	73.2
	0.4	73.5	81.3	89.1	96.7	104.0
	0.8	102.0	117.0	128.0	138.0	148.0
	1.6	146.0	161.0	177.0	193.0	214.0

**R 22**

EVRS 3	0.1	0.68	0.72	0.76	0.78	0.79
	0.2	0.97	1.0	1.1	1.1	1.1
	0.4	1.4	1.5	1.5	1.6	1.6
	0.8	1.9	2.0	2.1	2.3	2.3
	1.6	2.7	2.9	3.0	3.1	3.2
EVRS/EVRST 10	0.1	4.4	4.7	4.9	5.1	5.2
	0.2	6.3	6.7	7.0	7.2	7.3
	0.4	9.0	9.6	10.0	10.3	10.4
	0.8	12.4	13.2	13.9	14.7	14.9
	1.6	17.5	18.6	19.6	20.2	20.5
EVRS/EVRST 15	0.1	8.0	8.5	8.9	9.2	9.3
	0.2	11.4	12.1	12.6	13.0	13.2
	0.4	16.3	17.2	18.0	18.5	18.7
	0.8	22.3	23.1	24.9	26.5	26.8
	1.6	31.5	33.5	35.2	36.4	36.9
EVRS/EVRST 20	0.1	13.3	14.1	14.8	15.3	15.5
	0.2	19.0	20.1	21.0	21.7	22.0
	0.4	27.1	28.7	30.0	30.9	31.2
	0.8	37.1	38.4	44.5	44.2	44.6
	1.6	52.5	55.9	58.6	60.6	61.5

**Współczynnik korekcyjny**

Przy doborze wielkości zaworu wartości z tablicy muszą być pomnożone przez współczynnik korekcyjny zależny od temperatury parowania  $t_e$ .

$t_e$ $^\circ\text{C}$	-40	-30	-20	-10	0	+10
R 717 ( $\text{NH}_3$ )	0.89	0.91	0.96	1.0	1.06	1.10
R 22	0.90	0.94	0.97	1.0	1.03	1.05
R 134a	0.88	0.92	0.98	1.0	1.04	1.08

Wzrost temperatury gazu gorącego  $t_h$  o 10 K, zmniejsza wydajność zaworu około 2% i odwrotnie.

Zmiana temperatury parowania  $t_e$  zmienia wydajność zaworu; patrz tabela współczynników korekcyjnych poniżej.

**Wydajność**  
 (ciąg dalszy)

*Wydajność gazu gorącego  $Q_h$  kW*

Typ	Spadek ciśnienia na zaworze $\Delta p$ bar	Wydajność gorącego gazu $Q_h$ kW				
		Temp. parowania $t_e = -10^\circ\text{C}$ . Temp. gorącego gazu $t_h = t_c + 25^\circ\text{C}$ . Dochłodzenie $\Delta t_{\text{sub}} = 4\text{ K}$				
		Temperatura skraplania $t_c$ $^\circ\text{C}$				
		+20	+30	+40	+50	+60

**R 134a**

EVRS 3	0.1	0.54	0.57	0.6	0.61	0.6
	0.2	0.77	0.82	0.85	0.86	0.85
	0.4	1.1	1.2	1.2	1.2	1.2
	0.8	1.5	1.6	1.7	1.8	1.8
	1.6	2.2	2.3	2.4	2.5	2.4
EVRS/EVRST 10	0.1	3.5	3.7	3.9	4.0	3.9
	0.2	5.0	5.3	5.5	5.6	5.6
	0.4	7.0	7.7	7.9	8.0	7.9
	0.8	9.9	10.5	11.0	11.6	11.4
	1.6	14.3	15.1	15.7	16.0	15.9
EVRS/EVRST 15	0.1	6.4	6.7	7.0	7.1	7.1
	0.2	9.1	9.6	10.0	10.1	10.0
	0.4	12.6	13.8	14.2	14.4	14.3
	0.8	17.9	19.0	19.8	20.8	20.5
	1.6	25.7	27.2	28.2	28.8	28.6
EVRS/EVRST 20	0.1	10.6	11.2	11.7	11.8	11.8
	0.2	15.1	16.0	16.6	16.8	16.7
	0.4	21.0	22.9	23.7	24.0	23.8
	0.8	29.8	31.6	33.0	34.7	34.2
	1.6	42.8	45.3	47.1	47.9	47.6

**R 404A**

EVRS 3	0.1	0.62	0.63	0.62	0.59	0.54
	0.2	0.87	0.89	0.88	0.83	0.76
	0.4	1.2	1.3	1.3	1.2	1.1
	0.8	1.7	1.7	1.7	1.7	1.5
	1.6	2.4	2.5	2.4	2.3	2.1
EVRS/EVRST 10	0.1	4.0	4.1	4.0	3.8	3.5
	0.2	5.7	5.8	5.7	5.5	5.0
	0.4	8.1	8.2	8.2	7.8	7.0
	0.8	11.1	11.4	11.3	11.1	10.1
	1.6	15.7	16.0	15.8	15.2	13.9
EVRS/EVRST 15	0.1	7.3	7.4	7.3	6.9	6.3
	0.2	10.2	10.4	10.3	9.8	8.9
	0.4	14.6	14.8	14.7	14.0	12.7
	0.8	20.1	20.4	20.3	20.0	18.1
	1.6	28.3	28.8	28.4	27.4	25.0
EVRS/EVRST 20	0.1	12.1	12.3	12.1	11.5	10.5
	0.2	17.1	17.3	17.2	16.3	14.9
	0.4	24.4	24.7	24.5	23.3	21.1
	0.8	33.4	34.0	33.9	33.3	30.2
	1.6	47.1	48.0	47.4	45.6	41.6

*Współczynnik korekcyjny*

Przy doborze wielkości zaworu wartości z tablicy muszą być pomnożone przez współczynnik korekcyjny zależny od temperatury parowania  $t_e$ .

$t_e$ $^\circ\text{C}$	-40	-30	-20	-10	0	+10
R 404A	0.86	0.88	0.93	1.0	1.03	1.07

Wzrost temperatury gazu gorącego  $t_h$  o  $10\text{ K}$ , zmniejsza wydajność zaworu około 2% i odwrotnie.

Zmiana temperatury parowania  $t_e$  zmienia wydajność zaworu; patrz tablica współczynników korekcyjnych poniżej.

**Wydajność**  
(ciąg dalszy)

*Wydajność gorącego gazu  $G_h$  kg/s*

Typ	Temperatura gorącego gazu $t_h$ °C	Temperatura skrapiania $t_c$ °C	Wydajność gorącego gazu $G_h$ kg/s przy spadku ciśnienia na zaworze $\Delta p$ bar							
			0.5	1	2	3	4	5	6	7

**R 717 (NH<sub>3</sub>)**

EVRS 3	90	25	0.003	0.005	0.006	0.007	0.007	0.007	0.007	0.007	0.007	
		35	0.004	0.005	0.007	0.009	0.009	0.01	0.012	0.013	0.013	
		45	0.005	0.006	0.009	0.01	0.011	0.012	0.013	0.013	0.013	
		25	0.022	0.03	0.04	0.045	0.048	0.048	0.048	0.048	0.048	
EVRS/EVRST 10		35	0.026	0.036	0.048	0.056	0.061	0.064	0.065	0.065	0.065	
		45	0.030	0.041	0.056	0.066	0.074	0.079	0.083	0.085	0.086	
		25	0.040	0.054	0.072	0.081	0.086	0.087	0.087	0.087	0.087	
		35	0.046	0.064	0.086	0.100	0.109	0.115	0.117	0.117	0.117	
EVRS/EVRST 15		45	0.053	0.074	0.101	0.120	0.133	0.142	0.149	0.153	0.155	
		25	0.066	0.090	0.120	0.120	0.144	0.145	0.145	0.145	0.145	
		35	0.077	0.107	0.144	0.167	0.182	0.191	0.195	0.195	0.195	
		45	0.089	0.124	0.169	0.199	0.211	0.237	0.248	0.255	0.258	

**R 22**

EVRS 3	90	25	0.008	0.011	0.014	0.016	0.017	0.017	0.017	0.017	0.017	
		35	0.009	0.012	0.017	0.019	0.022	0.025	0.026	0.027	0.028	
		45	0.010	0.014	0.019	0.022	0.025	0.026	0.027	0.028	0.028	
		25	0.051	0.069	0.092	0.104	0.109	0.111	0.111	0.111	0.111	
EVRS/EVRST 10		35	0.058	0.08	0.108	0.125	0.136	0.142	0.144	0.144	0.144	
		45	0.066	0.092	0.125	0.146	0.162	0.172	0.179	0.183	0.183	
		25	0.091	0.125	0.165	0.187	0.197	0.199	0.199	0.199	0.199	
		35	0.105	0.144	0.194	0.225	0.244	0.256	0.258	0.258	0.258	
EVRS/EVRST 15		45	0.119	0.165	0.224	0.263	0.291	0.31	0.322	0.329	0.330	
		25	0.152	0.208	0.275	0.311	0.328	0.332	0.332	0.332	0.332	
		35	0.174	0.241	0.323	0.375	0.407	0.425	0.431	0.431	0.431	
		45	0.193	0.275	0.374	0.439	0.485	0.516	0.537	0.548	0.550	

**R 134a**

EVRS 3	60	25	0.007	0.009	0.011	0.012	0.012	0.016	0.016	0.016	0.021	
		35	0.009	0.011	0.014	0.018	0.02	0.021	0.021	0.021	0.021	
		45	0.01	0.012	0.018	0.022	0.025	0.026	0.027	0.028	0.028	
		25	0.048	0.06	0.074	0.077	0.077					
EVRS/EVRST 10		35	0.055	0.071	0.092	0.103	0.104	0.104	0.135	0.135	0.135	
		45	0.06	0.084	0.111	0.127	0.134	0.135	0.135	0.135	0.135	
		25	0.081	0.108	0.134	0.14	0.14	0.187	0.187			
		35	0.094	0.129	0.166	0.192	0.241	0.244	0.244	0.244	0.244	
EVRS/EVRST 15		45	0.108	0.151	0.2	0.228	0.241					
		25	0.134	0.180	0.223	0.233	0.233	0.312	0.312	0.312	0.407	
		35	0.157	0.215	0.276	0.307	0.307	0.403	0.407	0.407	0.407	
		45	0.181	0.252	0.333	0.381	0.381	0.403	0.407	0.407	0.407	

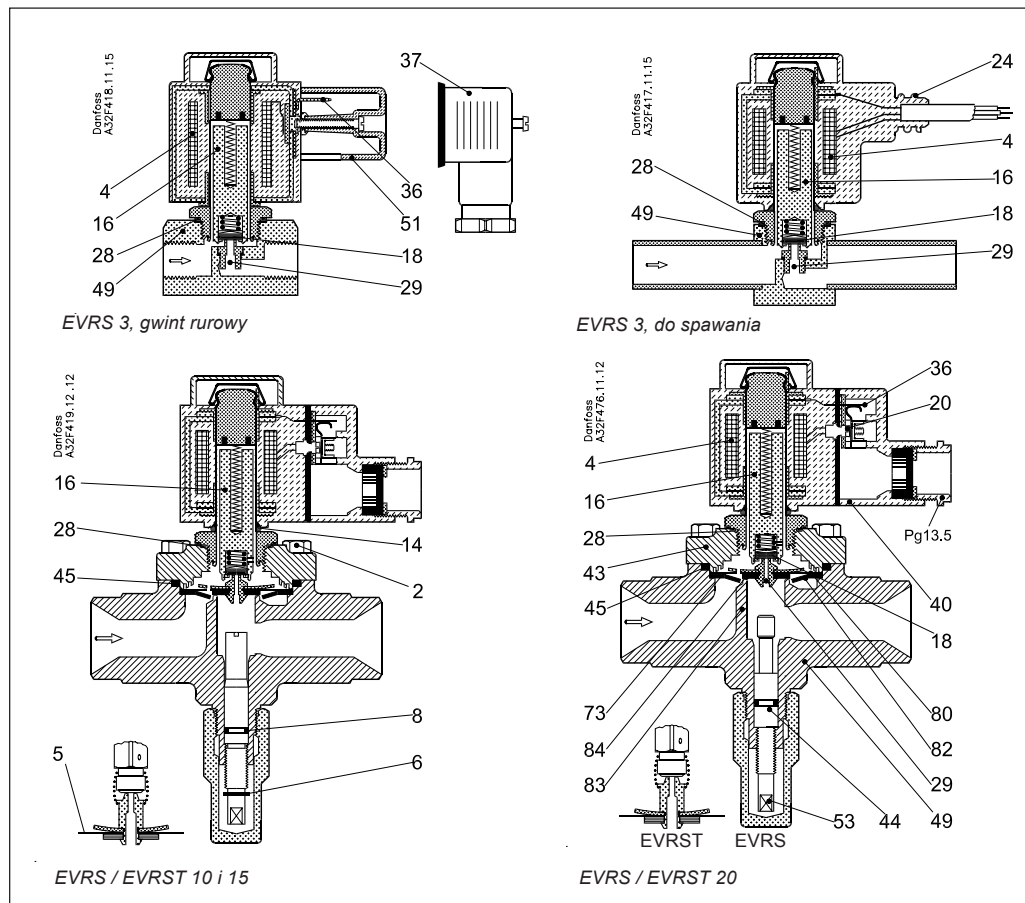
**R 404A**

EVRS 3	60	25	0.01	0.013	0.018	0.021	0.022	0.023	0.023	0.023	0.023	
		35	0.011	0.015	0.02	0.024	0.027	0.028	0.029	0.029	0.03	
		45	0.012	0.017	0.023	0.028	0.032	0.034	0.035	0.036	0.037	
		25	0.063	0.087	0.116	0.134	0.145	0.148	0.149	0.149	0.149	
EVRS/EVRST 10		35	0.072	0.1	0.134	0.158	0.174	0.184	0.19	0.19	0.192	
		45	0.081	0.112	0.153	0.182	0.203	0.228	0.228	0.237	0.239	
		25	0.113	0.157	0.21	0.242	0.26	0.267	0.269	0.269	0.269	
		35	0.129	0.18	0.242	0.285	0.313	0.332	0.341	0.342	0.346	
EVRS/EVRST 15		45	0.146	0.202	0.275	0.327	0.365	0.393	0.411	0.424	0.431	
		25	0.189	0.262	0.350	0.403	0.433	0.445	0.449	0.449	0.449	
		35	0.215	0.300	0.404	0.474	0.521	0.552	0.569	0.570	0.576	
		45	0.243	0.337	0.459	0.545	0.609	0.656	0.684	0.707	0.719	

Wzrost temperatury gorącego gazu  $t_h$  o 10 K zmniejsza wydajność zaworu około 2% i odwrotnie.

**Konstrukcja  
Działanie**

4. Cewka  
 16. Zwora  
 18. Płytki zaworu pilotowego  
 20. Zaciśk uziomowy  
 24. Przyłącza do elastycznego  
     węża stalowego  
 28. Uszczelka  
 29. Dysza sterująca  
 36. Złączka DIN  
 40. Puszka zaciskowa  
 43. Pokrywa zaworu  
 44. O-ring  
 45. Uszczelka pokrywy zaworu  
 49. Korpus zaworu  
 51. Pokrywa  
 53. Trzpień ręcznego otwierania  
 73. Otwór wyrównawczy  
 80. Membrana  
 82. Podkładka ustalająca  
 83. Gniazdo zaworu  
 84. Płytki głównego zaworu



Projekt zaworów elektromagnetycznych jest oparty na trzech różnych zasadach:

1. Działanie bezpośrednie
2. Działanie z serwosterowaniem
3. Działanie z serwosterowaniem wymuszonym

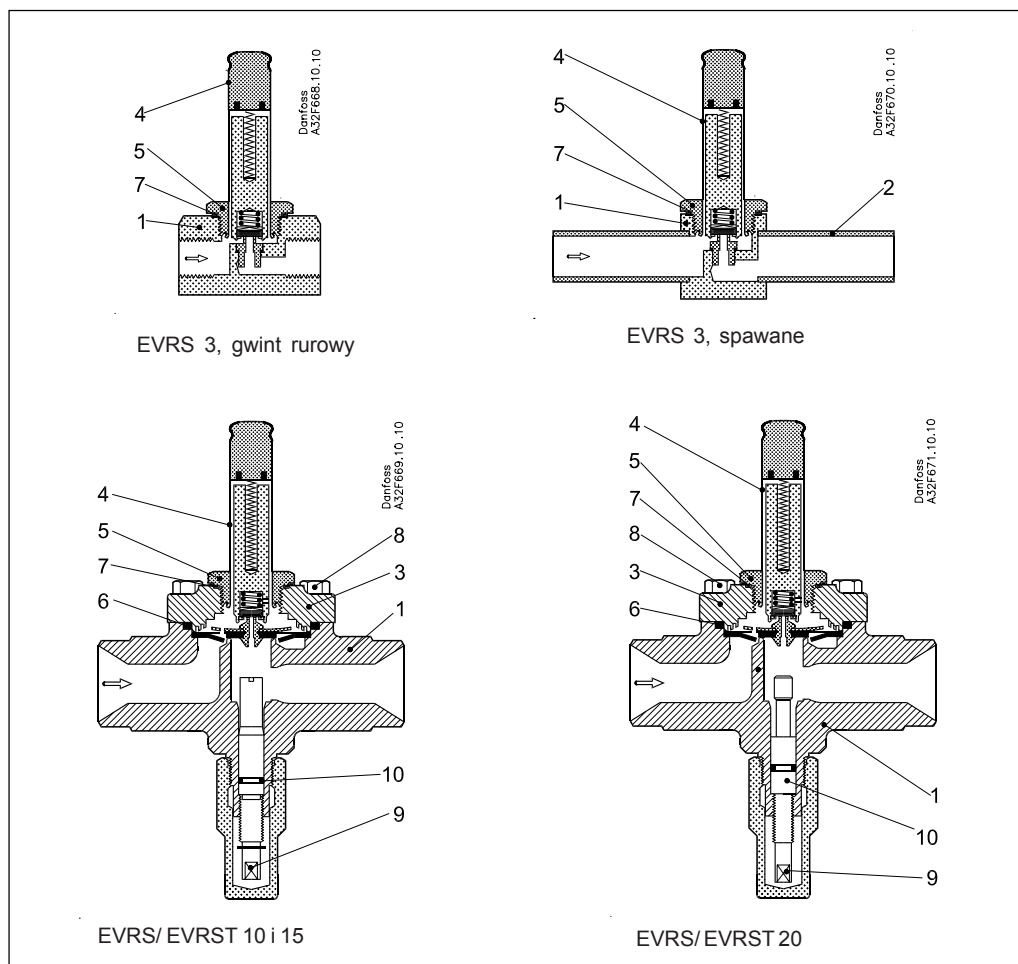
**1. Działanie bezpośredni**  
 EVRS 3 działa bezpośrednio. Zawór otwiera się bezpośrednio na pełny przepływ, kiedy zwora (16) porusza się do góry w polu magnetycznym cewki. Oznacza to, że zawór działa z minimalną różnicą ciśnień 0 bar. Teflonowa płytka zaworu (18) jest zamontowana wprost na zworze (16). Ciśnienie wlotowe działa z góry na zwore i płyty zaworu. Dlatego ciśnienie wlotowe, siła sprężyny i ciężar zwory powodują zamknięcie zaworu, kiedy przez cewkę nie płynie prąd.

**2. Działanie z serwosterowaniem**  
 EVRS 10, 15 i 20 z „pływającą” membraną (80) działają z serwosterowaniem. Dysza sterująca (29) ze stali nierdzewnej jest umieszczona w środku membrany. Teflonowa płytka zaworu pilotowego (18) jest zamontowana bezpośrednio na zworze (16). Kiedy przez cewkę nie płynie prąd, główna dysza i dysza sterująca są zamknięte. Dysza sterująca i główna dysza są utrzymywane w stanie zamkniętym ciężarem zwory, siłą sprężyny zwory i różnicą ciśnień pomiędzy stroną wlotową i wylotową. Kiedy prąd zostanie doprowadzony do cewki, zwora zostaje wciągnięta w pole magnetyczne i otwiera dyszę

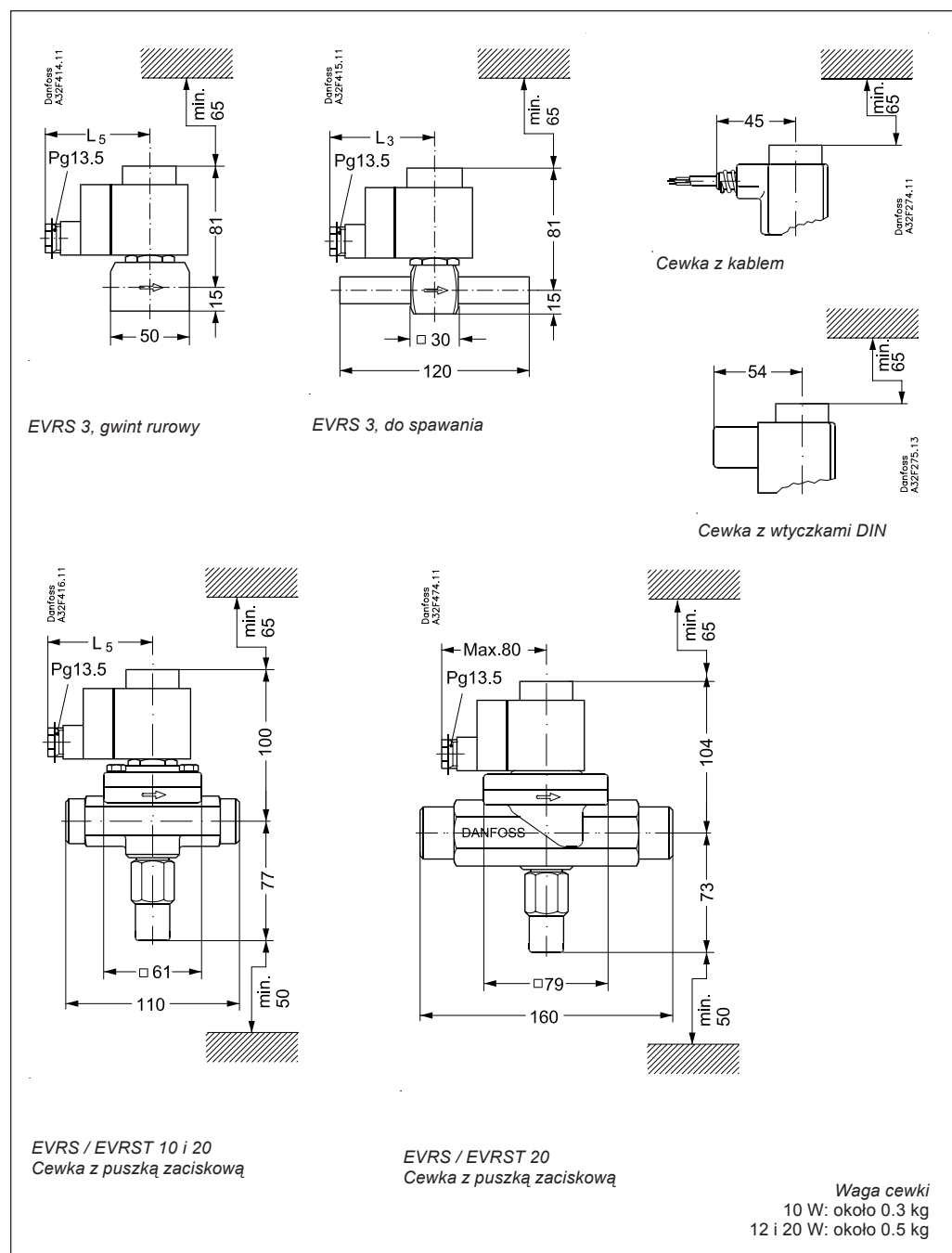
sterującą. Zwalnia to ciśnienie nad membraną, ponieważ przestrzeń nad membraną zostaje połączona ze stroną wylotową zaworu. Wtedy różnica ciśnień pomiędzy wlotową i wylotową stroną zaworu unosi membranę od głównej dyszy i otwiera ją dla pełnego przepływu. Dlatego pewna minimalna różnica ciśnień jest potrzebna, żeby otworzyć zawór i trzymać go w stanie otwartym. Dla zaworów EVRS 10, 15 i 20 ta różnica ciśnień wynosi 0.05 bar. Kiedy prąd jest wyłączony, dysza sterująca się zamyka. Poprzez otwory wyrównawcze (73) w membranie ciśnienie nad membraną wzrasta do wartości ciśnienia wlotowego i membrana zamyka główną dyszę.

**3. Działanie z serwosterowaniem i wspomaganiem otwarcia**  
 EVRST 10, 15 i 20 są zaworami elektromagnetycznymi działającymi z serwosterowaniem i wspomaganiem otwarcia. Działanie z serwosterowaniem i wspomaganiem otwarcia różni się od działania z serwosterowaniem tym, że w zaworze z serwosterowaniem i wspomaganiem otwarcia zwora i membrana są połączone sprężyną. Dlatego zwora pomaga w podnoszeniu membrany (80) i utrzymywaniu jej w stanie podniesionym tak, że spadek ciśnienia w zaworze otwartym jest możliwie najmniejszy. Dlatego te typy zaworów nie potrzebują różnic ciśnień do utrzymywania ich w stanie otwartym.

## Specyfikacja materiałowa



Zawór elektromagnetyczny							Standard	
Nr	Opis	Typ	Materiał	Skład	Mat.nr	W.nr	DIN	EN
1	Korpus	EVRS 3	Stal nierdzew.	X8 CrNiS 18-9		1.4305		10088
2	Przyłącze spawane	EVRS (T) 10/15/20	Stal nierdzew.	X6 CrNi 18-9		1.4308	17455	
		EVRS 3	Stal nierdzew.	X2 CrNiMo 17-12-2		1.4404	17455	
3	Pokrywa zaworu	EVRS (T) 10(15)/20	Stal nierdzew.	X6 CrNi 18-9		1.4308	17455	
4	Tuleja zwory	EVRS(T) 3/10/15/20	Stal nierdzew.	X2 CrNi 19-11		1.4306		10088
5	Nakrętka tulei zwory	EVRS(T) 3/10/15/20	Stal nierdzew.	X8 CrNi 19-11		1.4305		10088
6	Uszczelka	EVRS(T) 3/10/15/20	Guma	Cr				
7	Uszczelka tulei zwory	EVRS(T) 10/15/20	Aluminium	Al 99.5		3.0255		10210
8	Śruby	EVRS(T) 10/15/20	Stal nierdzew.	A2-70				
9	Wrzeciono ręcz. otw.	EVRS(T) 10/15/20	Stal nierdzew.	X8 CrNiS 18-9		1.4305		10088
10	Uszczelka	EVRS(T) 10/15/20	Guma	Cr				

**Wymiary i waga**


Typ	L <sub>5</sub> maks.		Waga z cewką
	10 W	12 W 20 W	
	mm	mm	
EVRS 3, gwint rurowy	75	85	0.7
EVRS 3, do spawania	75	85	0.6
EVRS/EVRST 10	75	85	1.4
EVRS/EVRST 15	75	85	1.5
EVRS/EVRST 20	75	85	2.2

---

Danfoss nie ponosi odpowiedzialności za możliwe błędy w katalogach, broszurach i innych materiałach drukowanych. Danfoss zastrzega sobie prawo do wprowadzania zmian w produktach bez uprzedzenia. Zamienniki mogą być dostarczone bez dokonywania jakichkolwiek zmian w specyfikacjach już uzgodnionych. Wszystkie znaki towarowe w tym materiale są własnością odpowiednich spółek. Danfoss, logotyp Danfoss są znakami towarowymi Danfoss A/S. Wszystkie prawa zastrzeżone.

---



**Danfoss Sp. z o.o.**  
ul. Chrzanowska 5  
05-825 Grodzisk Mazowiecki  
Telefon: (0-22) 755-06-06  
Telefax: (0-22) 755-07-01  
<http://www.danfoss.pl>  
e-mail: chlodnictwo@danfoss.pl